

转基因小麦的PCR快速检测^{*}

孟超敏¹, 张晓东², 陈天佑³

(1 河南科技大学 农学院, 河南 洛阳 471003; 2 北京农业生物技术研究中心, 北京 100089;

3 西北农林科技大学 农学院, 陕西 杨凌 712100)

[摘要] 采用改进的CTAB法, 研究了与PCR相匹配的转基因小麦单株微量DNA的快速提取方法。结果表明, 该提取方法简便、快速、有效, 提取的DNA产量和质量完全可以用于PCR扩增。对标准PCR的反应体系进行优化, 建立了最佳的转外源高赖氨酸基因小麦植株的PCR扩增体系, 即10×Reaction Buffer 2.5 μL, M gCl₂ 25 mmol/L, dNTPs 2.5 mmol/L, 模板DNA 30~60 ng, 引物 1.2 μmol/L, Taq酶 1 U, 加ddH₂O至25 μL, 优化的PCR反应体系显著提高了转基因小麦植株筛选和鉴定的效率。

[关键词] 转基因小麦; DNA提取; PCR; 反应体系优化

[中图分类号] S512; Q 78

[文献标识码] A

[文章编号] 1671-9387(2005)10-0024-05

转基因小麦是利用基因工程技术, 将外源基因导入小麦基因中, 经过筛选得到的能够表达目的基因的小麦。在基因转移和表达研究中, 需要对经转化处理的幼苗进行分子检测, 以淘汰非转化植株。选择标记基因(如新酶素磷酸转移酶基因、氯霉素乙酰转移酶基因和潮酶素转移酶基因等)和报告基因(如β葡萄糖苷酸酶基因和荧光素酶基因等)已被广泛用于转化植株和组织的筛选, 但在某些情况下, 这种筛选效果不可靠^[1~3]。聚合酶链反应(Polymerase Chain Reaction, PCR)技术是筛选和鉴定外源基因整合情况的最常用和有效的技术^[4,5]。该技术以极少量的DNA为模板, 加入适当的引物, 在DNA聚合酶(如Taq酶)作用下, 快速扩增出模板DNA的某一靶片段, 从而筛选和鉴定相关基因的整合情况。

基因枪微弹轰击转化小麦的转化体系^[6~9], 有力地促进了转基因小麦的发展。随着小麦遗传转化体系的成熟和完善, 转化处理的小麦群体已达到一定的规模。转化后大规模群体植株的筛选是小麦基因转化技术中极为重要的一个环节。然而目前转基因小麦单株微量DNA快速提取方法和分子筛选体系存在不稳定、重复性差、效率低等缺陷。为此, 本试验尝试研究了快速、简便、操作性强、实用性强的小麦单株微量DNA快速提取方法, 并且建立了适于转基因小麦的PCR检测反应体系和条件, 以便进行大规模的转基因植株筛选和鉴定, 从而大大提高了外

源基因筛选和鉴定的效率。

1 材料与方法

1.1 材料

含有外源高赖氨酸基因(*w blip*)的质粒pBPC102, 由北京农业生物技术研究中心小麦分子生物学研究室构建和保存; 经基因枪转化法转化质粒pBPC102的小麦植株; 未转化普通六倍体小麦。

4种dNTPs, Taq酶, M gCl₂ 和10×Reaction Buffer 均购自华美生物工程公司。所用仪器有日本岛津牌UV-120-02紫外可见分光光度计和W hatman Biom etra公司的PCR热循环仪。

1.2 方法

1.2.1 基因组DNA的提取 采用改进的CTAB法。取0.5 g冷冻干燥的小麦叶片在1.5 mL离心管中研磨至粉末状, 加0.65 mL CTAB提取液(10 mmol/L EDTA, 0.7 mol/L NaCl, 0.1% β巯基乙醇, 50 mmol/L Tris-HCl(pH 8.0)), 充分混匀, 65℃温浴30 min; 加等体积氯仿-异戊醇(体积比为24:1)抽提, 边温浴边抽提, 约20~30 min后, 8 000 r/m in 离心10 min, 用剪口的枪头吸出上清液; 加2/3体积的预冷异丙醇沉淀15 min以上, 待析出絮状沉淀后, 11 000 r/m in 离心10 min, 倒出液体, 将沉淀物及离心管用体积分数75%乙醇清洗, 吹干沉淀物, 溶于适量ddH₂O或TE(10 mmol/L Tris-HCl,

* [收稿日期] 2005-02-25

[作者简介] 孟超敏(1977-), 男, 陕西咸阳人, 讲师, 硕士, 主要从事农业生物技术研究。

pH 8.0; 1 mmol/L EDTA, pH 8.0; 高压灭菌)中, 待全部溶解后保存在-20℃冰箱中。

1.2.2 目的基因PCR扩增体系的优化 转基因小麦基因组DNA含量的测定采用紫外分光光度法, 模板DNA的用量为30~60 ng, 根据高赖氨酸基因 $w\text{-}blp$ 的序列, 设计并合成了P₁和P₂ 2对引物(上海生工生物公司合成), P₁的上游引物为: 5'-CAT TAT GGG TGT TTT CAC ATA TGA G-3', 下游引物为: 5'-ATT GTA TTC AGG ATG GGC CAA AAG G-3'; P₂的上游引物为: 5'-ATG GGT GTT TTC ACA TAT GAG-3', 下游引物为: 5'-TCA ATT GTA TTC AGG ATG GGC-3'。PCR反应体系为25 μL。为了优化PCR反应体系, 设计了不同的引物(P₁, P₂)、退火温度(分别为50, 54, 61, 66, 70和53.2, 55.5, 58.0, 60.0)、引物浓度(2.00, 1.43, 1.00, 0.71, 0.50 μmol/L)和甜菜碱浓度(0.5, 1.0, 1.5, 2.0 mol/L), 以进行优化筛选试验。

扩增反应在T GRADIENT热循环仪上进行, 具体程序为: 94℃ 4 min, 1个循环; 94℃ 1 min, 58℃ 30 s, 72℃ 1 min, 38个循环; 最后72℃延伸7 min。扩增产物直接进行琼脂糖凝胶电泳分离或保存在4℃冰箱中备用。

1.2.3 DNA的电泳检测 总基因组DNA用质量分数0.8%琼脂糖凝胶电泳, PCR扩增产物用质量分数1.2%琼脂糖凝胶电泳, 电泳缓冲液为1×TAE, 电泳结果以凝胶成像系统记录分析。

2 结果与分析

2.1 转基因小麦基因组DNA的质量

由图1可以看出, 用快速提取方法提取的基因组DNA, 所有样品电泳结果良好, 未出现RNA污染和DNA降解现象。用紫外分光光度计测定基因

组DNA质量浓度, 1~4号样品分别为0.41, 0.34, 0.62和0.44 μg/μL, 提取的DNA产量和质量完全可以满足PCR扩增的需要。

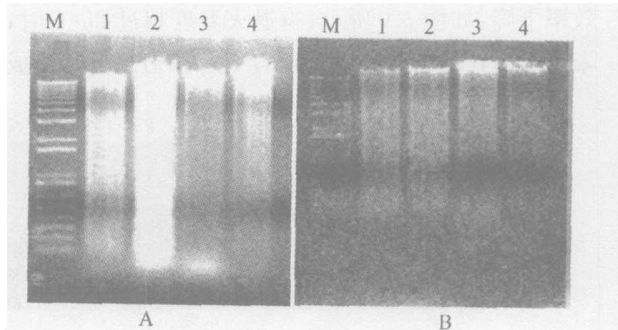


图1 转基因小麦基因组DNA电泳图谱

A. 传统方法提取的DNA; B. 快速提取方法提取的DNA;
M. 1 kb Plus DNA Ladder; 1~4 转基因小麦

Fig. 1 Agarose-gel electrophoresis gram of transgenic wheat genomic DNA

A. DNA quality extracted using traditional method;
B. DNA quality extracted using fast method;
M. 1 kb Plus DNA Ladder; 1-4 Different transgenic wheat respectively

2.2 目的基因PCR扩增体系的优化

2.2.1 不同引物对PCR扩增结果的影响 高效特异性强的引物是特异性扩增的关键。由图2可见, 引物P₁和P₂在相同的PCR扩增条件下, 以P₁为引物可扩增出长477 bp的特异性片段, 以P₂为引物可扩增出长406 bp的特异性片段。以P₂为引物的阳性对照(质粒pBPC102)扩增出长406 bp的特异性片段, 而阴性对照(非转基因植株)和转基因植株均未出现特异性片段(图2 II); 以P₁为引物的阳性对照(质粒pBPC102)扩增出了特异性片段, 转基因植株也扩增出了目标片段(图2 I)。表明引物P₁与预测的结果完全吻合, 而引物P₂尚需改变PCR反应条件进一步验证。

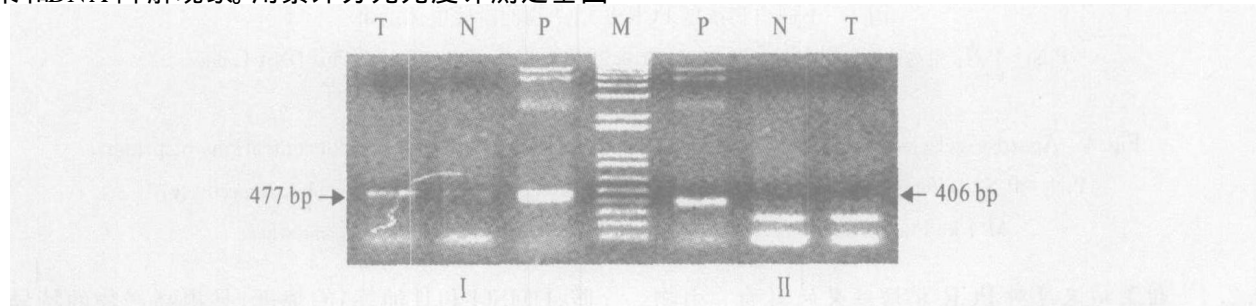


图2 不同引物PCR扩增产物的凝胶电泳结果

I. 引物为P₁; II. 引物为P₂; M. 1 kb Plus DNA Ladder; P. 质粒pBPC102; N. 非转基因植株; T. 转质粒pBPC102的小麦植株

Fig. 2 Agarose-gel electrophoresis of PCR products preformed by different primers

I. Primer P₁; II. Primer P₂; M. 1 kb Plus DNA Ladder; P. Plasmid pBPC102; N. Non-transgenic wheat; T. Transgenic wheat

2.2.2 退火温度对PCR扩增结果的影响 退火温度决定PCR的特异性与产量。温度高,特异性强,但温度过高,则引物不能与模板牢固结合,DNA扩增效率下降,如图3A所示,当退火温度超过66℃时,未扩增出任何条带。温度低,产量高,但过低可造成

引物与模板错配,非特异性产物增加,如图3A所示,当退火温度为50℃时,阴性对照N₁扩增出了非特异性条带。对于G+C含量约为50%的20个碱基的寡核苷酸引物,退火温度在55~60℃较为适宜(图3B)。

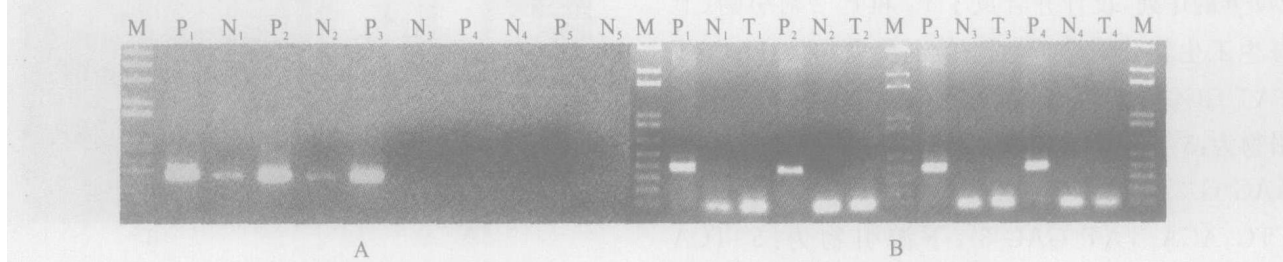


图3 不同退火温度PCR扩增产物的凝胶电泳结果

A. P₁N₁~P₅N₅ 表示退火温度分别为50, 54, 61, 66 和70℃; B. P₁N₁T₁~P₄N₄T₄ 表示退火温度分别为53, 55, 58 和60℃; M. 1 kb Plus DNA Ladder; P₁~P₅ 质粒pBPC102; N₁~N₅ 非转基因植株; T₁~T₄ 转质粒pBPC102的小麦植株

Fig. 3 Agarose-gel electrophoresis of PCR products preformed by different anneal temperatures

A. P₁N₁~P₅N₅ mean anneal temperature 50, 54, 61, 66 and 70℃ respectively; B. P₁N₁T₁~P₄N₄T₄ mean anneal temperature 53, 55, 58 and 60℃ respectively; M. 1 kb Plus DNA Ladder; P₁~P₅ Plasmid pBPC102; N₁~N₅ Non-transgenic wheat; T₁~T₄ Transgenic wheat

2.2.3 引物浓度对PCR扩增结果的影响 由图4可知,引物浓度过高或过低对PCR扩增都有很大影响。当引物浓度过低时,扩增产物的量很少,很难用电泳的方法进行检测,如图4中当引物浓度为0.50 μmol/L时,P₅扩增产物未能被凝胶电泳检测到。而引物浓度过高会产生2个问题:一是易引起错配和产生非特异性扩增,如图4中当引物浓度为2.00

μmol/L时,N₁扩增出了非特异性片段;二是易生成引物二聚体。这些对于转基因植株鉴定来说很重要,因为植物基因组很大,而单拷贝的外源基因在基因组中所占的比例很小,基因组DNA提取又很粗,这时若引物浓度高,非特异性扩增极易发生。综合分析认为,引物浓度为1.0~1.2 μmol/L为佳。

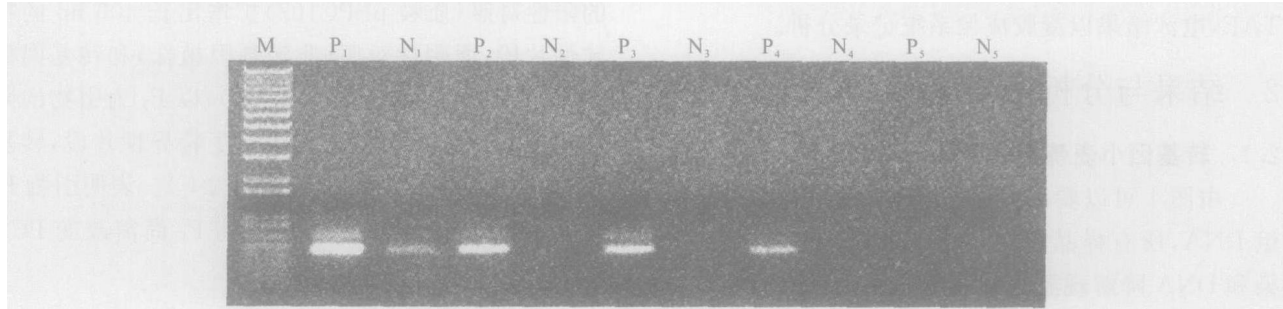


图4 不同引物浓度PCR扩增产物的凝胶电泳结果

P₁N₁~P₅N₅ 引物浓度分别为2.00, 1.43, 1.00, 0.71 和0.50 μmol/L; M. 1 kb Plus DNA Ladder; P₁~P₅ 质粒pBPC102; N₁~N₅ 为非转基因植株

Fig. 4 Agarose-gel electrophoresis of PCR products preformed by different concentrations of primer

P₁N₁~P₅N₅ Different concentrations of primer 2.00, 1.43, 1.00, 0.71 and 0.50 μmol/L respectively; M. 1 kb Plus DNA ladder; P₁~P₅ Plasmid pBPC102; N₁~N₅ Non-transgenic wheat

2.2.4 甜菜碱浓度对PCR扩增结果的影响 引物设计、退火温度和引物浓度的优化,足以对大多数模板进行高特异性的扩增,但对某些模板,如包括高G+C含量的模板,还存在一些缺陷。改变影响DNA熔解温度的PCR添加剂(包括甜菜碱、甲酰

胺、DM SO 和甘油等)的浓度,是提高产物的特异性和产量的另外一种方法。本试验为获得最佳结果,优化了甜菜碱的浓度。由图5可见,甜菜碱浓度为1.0 mol/L时,PCR扩增产物的特异性最强。

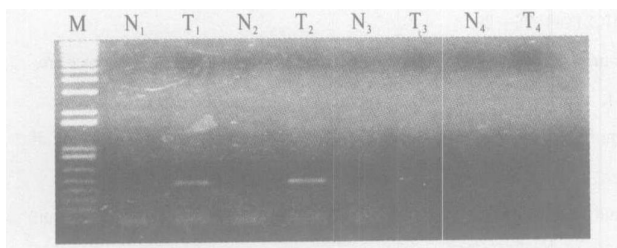


图5 不同甜菜碱浓度PCR扩增产物的凝胶电泳结果

N₁~T₄ 甜菜碱浓度分别为0.5, 1.0, 1.5, 2.0 mol/L;

M: 1 kb Plus DNA ladder; N₁~N₄ 非转基因植株;

T₁~T₄ 转质粒pBPC102的小麦植株

Fig. 5 A gel electrophoresis of PCR products preformed by different concentrations of betaine

N₁~N₄ Different concentrations of betaine

0.5, 1.0, 1.5, 2.0 mol/L; M: 1 kb Plus DNA Ladder;

N₁~N₄ Non-transgenic wheat; T₁~T₄ Transgenic wheat

2.2.5 最佳反应体系的建立 通过以上对不同引物、退火温度、引物浓度和甜菜碱浓度等的优化筛选,选用根据 $w\ blip$ 基因设计的特异引物P₁,建立总体积为25 μL的最佳反应体系为: 10×Reaction Buffer 2.5 μL, MgCl₂ 25 mmol/L, dNTPs 2.5 mmol/L, 模板DNA 30~60 ng, 引物 1.2 μmol/L, *Taq*酶1 U, 加ddH₂O至25 μL, 退火温度58℃。对用快速微量提取方法提取的转质粒pBPC102小麦单株DNA进行PCR扩增,结果见图6。由图6可以看出,在470 bp处,质粒和样品4均扩增出了特异性条带,而非转基因植株未扩增出条带。

多次PCR试验结果均证明,该反应体系稳定性好,重复性强,大大提高了转化后大规模群体植株的筛选和鉴定效率。

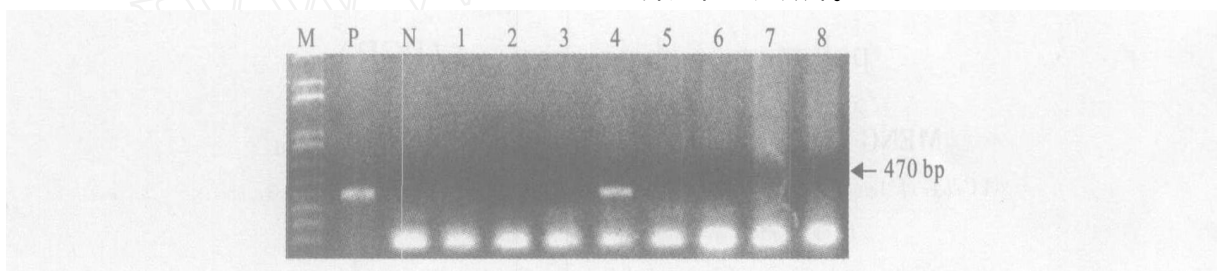


图6 $w\ blip$ 基因的PCR扩增产物的凝胶电泳结果

M: 1 kb Plus DNA ladder; P: 质粒pBPC102; N: 非转基因小麦; 1~8 转质粒pBPC102的小麦植株

Fig. 6 A gel electrophoresis of PCR products preformed by $w\ blip$

M: 1 kb Plus DNA ladder; N: Non-transgenic wheat; 1~8 Transgenic wheat; P: Plasmid pBPC102

3 讨 论

对转基因小麦植株进行快速PCR检测,首先要有一套快速、简便、成本低的,与PCR相配套的转基因单株基因组DNA提取方法。目前,植物总DNA提取方法较多,但大多数操作复杂、提取时间较长^[10,11]。为此,许多研究者难以在转基因植株T₁代幼苗期,采集到足够量的样品用于PCR检测,而必须在T₁代成株期或T₂代进行,造成人力、物力的浪费。本试验在传统DNA提取方法的基础上^[12],对提取过程及技术进行改进,采用研磨玻璃棒将样品在聚丙烯离心管中直接研磨,取材少,研磨省力,速度快,便于操作,同时也最大限度地避免了提取过程中样品之间的交叉污染;另外试验简化了传统的提取

过程,使提取过程简便、快捷、有效,而且提取的DNA产量和质量完全可以满足PCR扩增的需要,为PCR结果的稳定性提供了重要保证。

聚合酶链反应(PCR)技术是转基因植物分子鉴定中最常用的一种方法^[4,5],但由于PCR对实验程序和条件的变化很敏感,不同研究单位的实验室及不同操作人员的试验结果难以比较和交流,因此根据研究对象的不同,对PCR试验条件进行优化十分必要。本研究对标准PCR的反应体系和条件进行了优化,建立了最佳的转外源高赖氨酸基因小麦植株的PCR扩增体系,经多批次的DNA扩增验证,该反应体系稳定性好,重复性强,大大提高了转化后大规模群体植株的筛选和鉴定效率。

[参考文献]

- [1] De B M, Herrera E, Van M M, et al Expression of foreign in regenerated plants and in their progeny [J]. EMBO J, 1984, 3: 1681~1689.
- [2] Van Den Elzen P J M, Townsend J, Lee K Y, et al A chimaeric hygromycin resistance gene as a selectable marker in plant cells [J]. Plant Mol Biol, 1985, 5: 299~302.
- [3] Jefferson R A. Assaying chimeric genes in plants: GUS gene fusion gene fusion system [J]. Plant Mol Biol Rep, 1987, 5: 387~405.

- [4] 王关林,方宏筠 植物基因工程[M]. 第2版 北京: 科学出版社, 2002
- [5] 陶生策,张治平,张先恩 PCR 技术研究进展[J]. 生物工程进展, 2001, 21(4): 26- 29
- [6] Vasil V , Castillo A M , Fromm M , et al Herbicide resistant fertile transgenic wheat plant obtained by micro projectile bombardment of regenerable embryogenic callus[J]. Bio/Technology, 1992, 10: 667- 674
- [7] Takumi S , Shimada T . Variation in transformation frequencies among six common wheat cultivars through particle bombardment of scutellar tissues[J]. Genes Genet Syst, 1997, 72(2): 63- 69
- [8] Zhang X D , Liang R Q , Cheng X Q , et al Transgene inheritance and quality improvement by expressing novel HMW glutenin subunit (HMW-GS) genes in winter wheat[J]. Chinese Science Bulletin, 2003, 48(8): 771- 776
- [9] Meng C M , Cheng X Q , Liang R Q , et al Expression of lysine-rich protein gene and analysis of lysine content in transgenic wheat[J]. Chinese Science Bulletin, 2004, 49(10): 2053- 2057.
- [10] Bebendich A J , Anderson R S , Ward B L . Plant DNA: long, pure and simple, genome organization and expression[M]. New York: Plenum Press, 1980. 31- 33
- [11] Dellaporta S L , Wood J , Hicks J B . A plant DNA minipreparation: version II [M]. Plant Mol Biol Rep, 1983, 1: 19- 21.
- [12] Sambrook J , Fritsch E F , Maniatis T . Molecular cloning- a laboratory manual[M]. 2nd ed New York: Cold Spring Harbor Laboratory Press, 1989.

Rapid confirmation of the transgenic wheat lines by polymerase chain reaction (PCR)

MENG Chao-m in¹, ZHANG Xiao-dong², CHEN Tian-you³

(1 College of Agronomy, Henan University of Science and Technology, Luoyang, Henan 471003, China;

2 Beijing AgroB iotechnology Research Center, Beijing 100089, China;

3 College of Agronomy, Northwest A & F University, Yangling, Shaanxi 712000, China)

Abstract A new rapid DNA extraction method was developed for transgenic wheats identified by PCR. The result showed that this method was convenient, quick and effective. The quality of DNA extracted using this method was suitable for PCR analysis. An optimal reaction system suitable for alien lysine-rich gene PCR was also established in this research: 10×Reaction Buffer 2.5 μL, MgCl₂ 25 mmol/L, dNTPs 2.5 mmol/L, Genomic DNA 30- 60 ng, primers 1.2 μmol/L, Taq enzyme 1 U, ddH₂O to 25 μL.

Key words: transgenic wheat; DNA extraction; PCR; optimization of the reaction system